

Fig. 2.133. Spatial distribution of the winter maximum cumulative duration of extremely severe cold spells  
Distribuția spațială a duratei cumulate maxime a perioadelor reci extrem de severe din anotimpul de iarnă

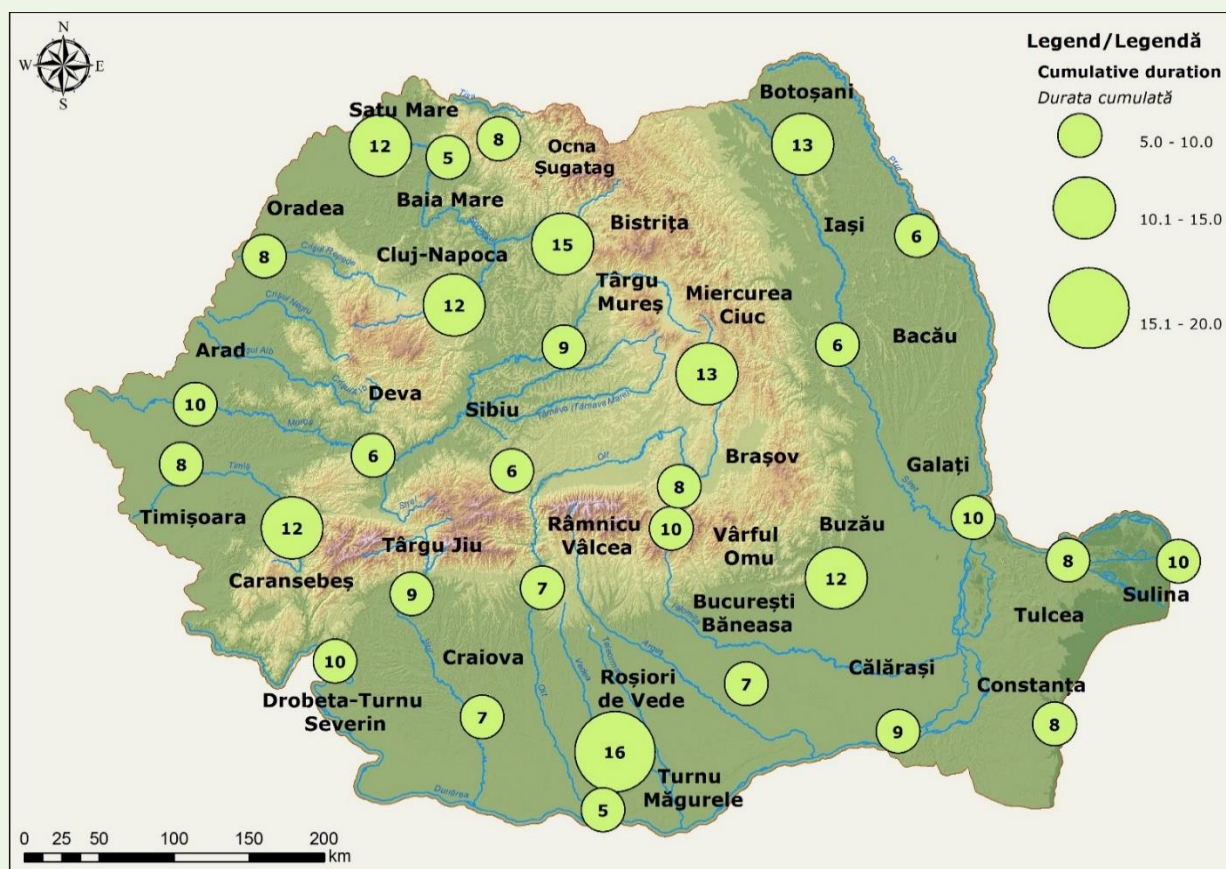


Fig. 2.134. Spatial distribution of the spring maximum cumulative duration of extremely severe cold spells  
Distribuția spațială a duratei cumulate maxime a perioadelor reci extrem de severe din anotimpul de primăvară

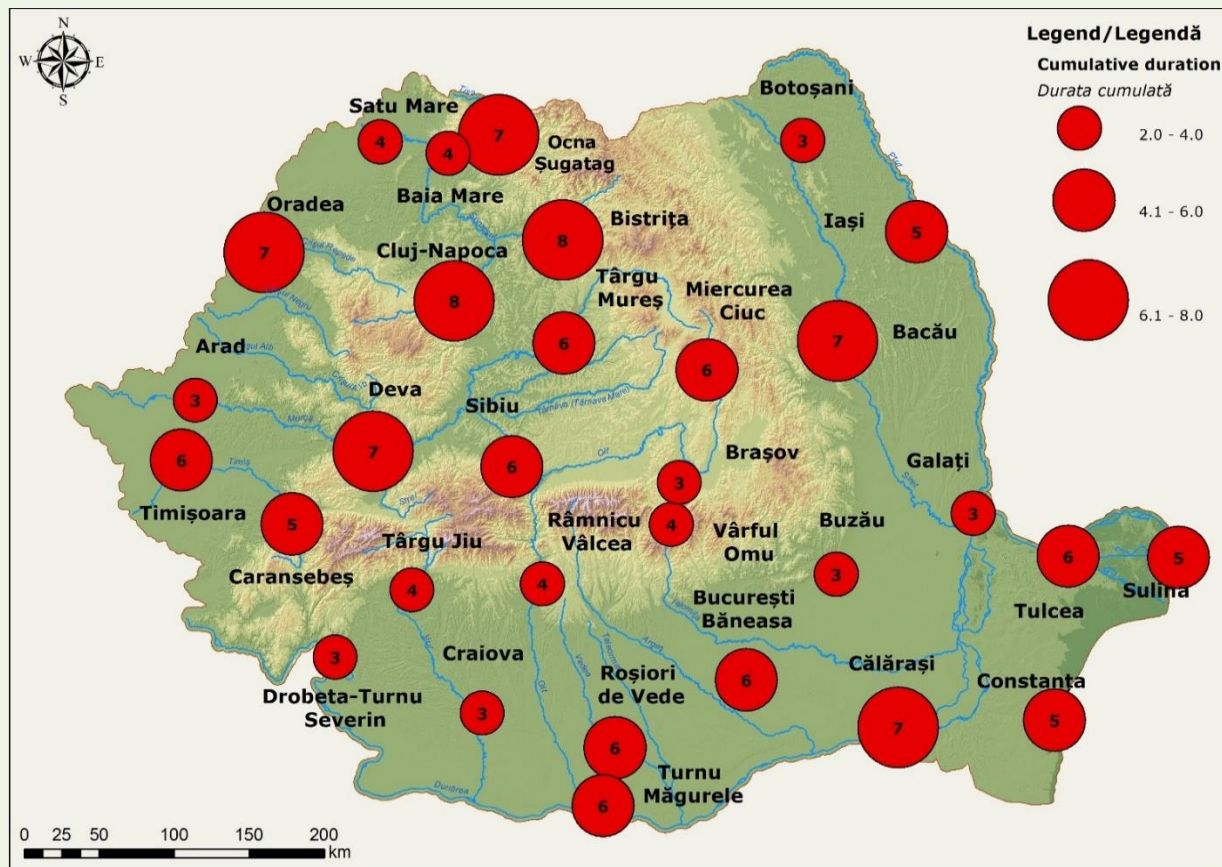


Fig. 2.135. Spatial distribution of the summer maximum cumulative duration of extremely severe cold waves  
Distribuția spațială a duratei cumulate maxime a valurilor de frig extrem de severe din anotimpul de vară

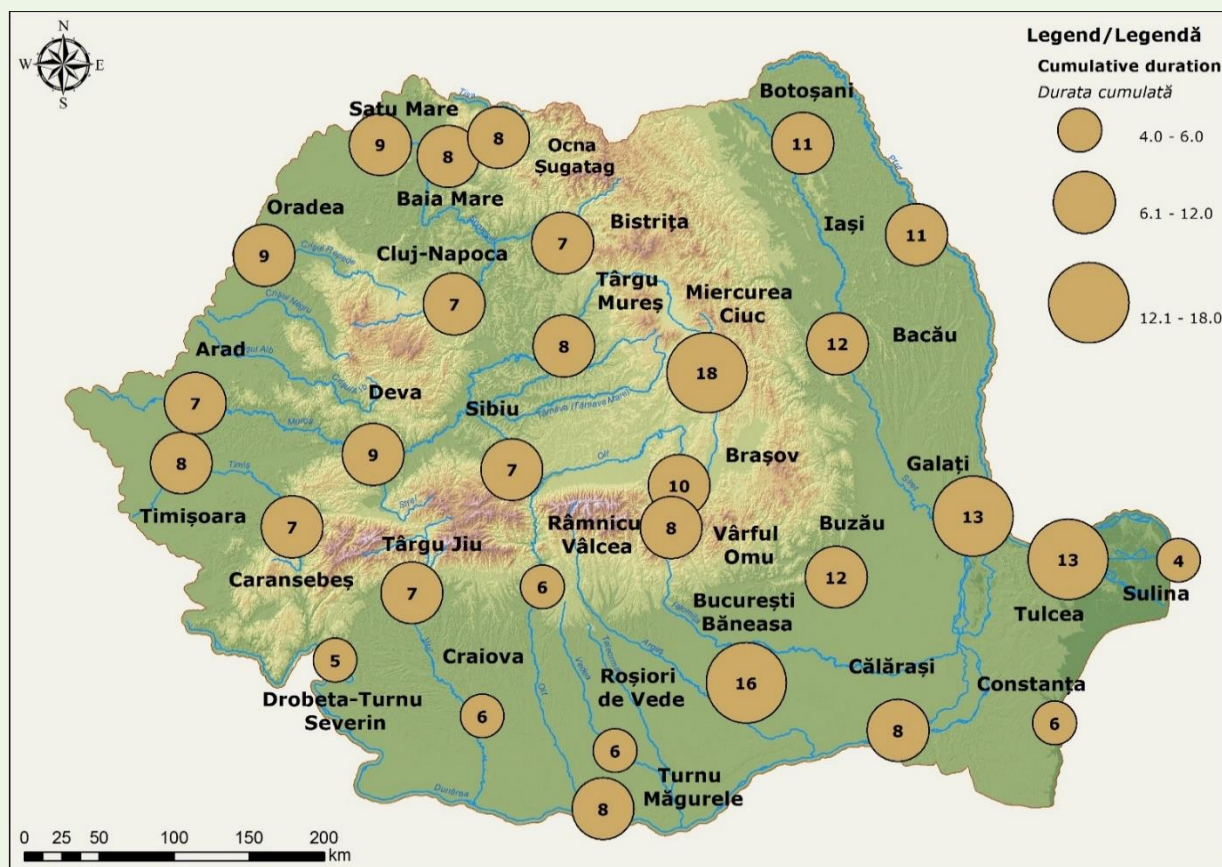


Fig. 2.136. Spatial distribution of the autumn maximum cumulative duration of extremely severe cold spells  
Distribuția spațială a duratei cumulate maxime a perioadelor reci extrem de severe din anotimpul de toamnă

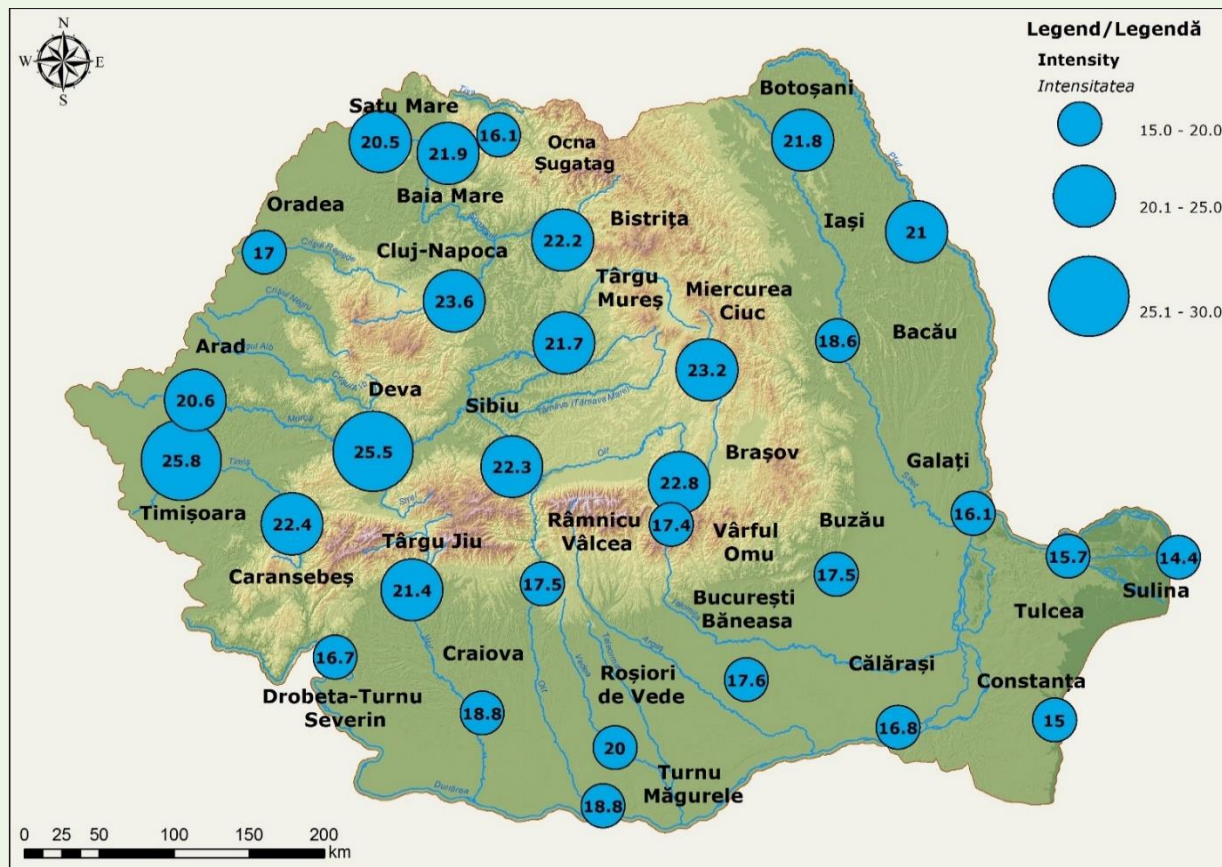


Fig. 2.137. Spatial distribution of the winter maximum intensity of extremely severe cold spells  
Distribuția spațială a intensității maxime a perioadelor reci extrem de severe din anotimpul de iarnă

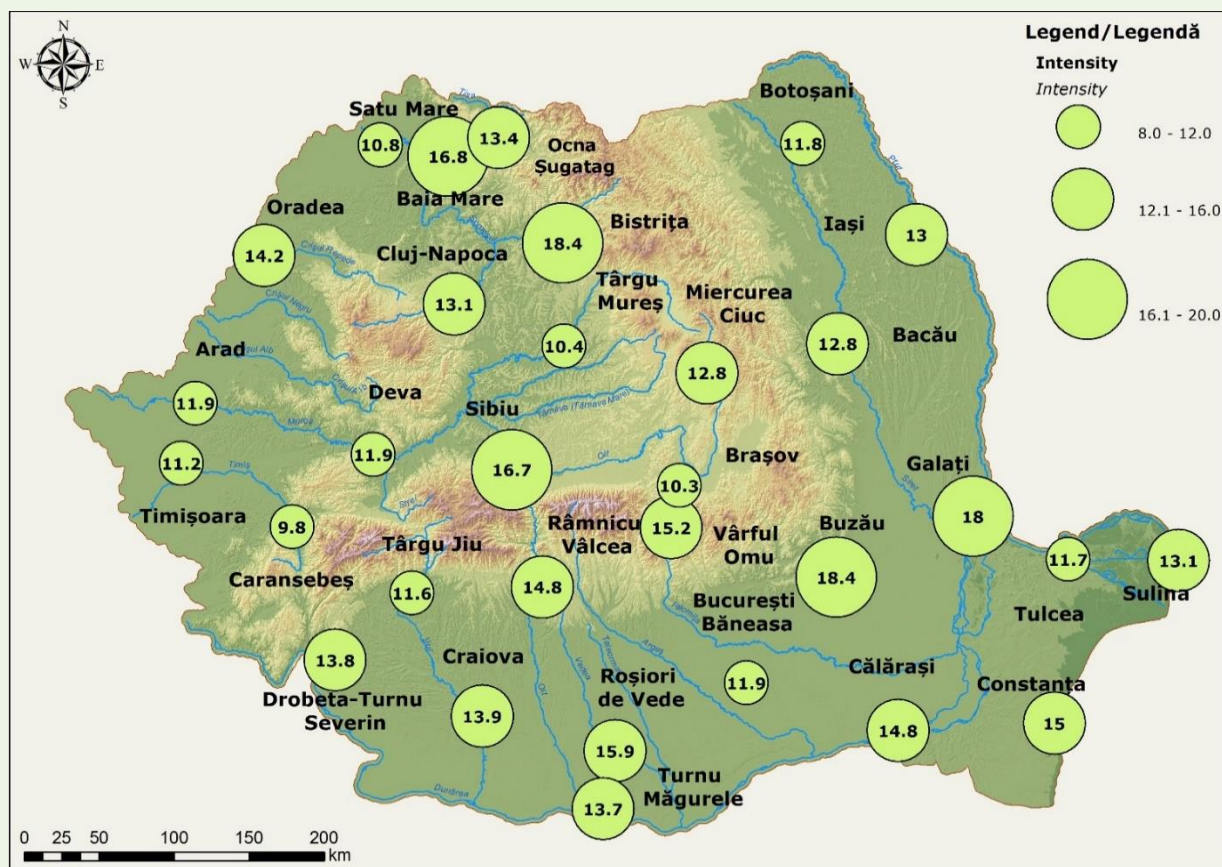


Fig. 2.138. Spatial distribution of the spring maximum intensity of extremely severe cold spells  
Distribuția spațială a intensității maxime a perioadelor reci extrem de severe din anotimpul de primăvară

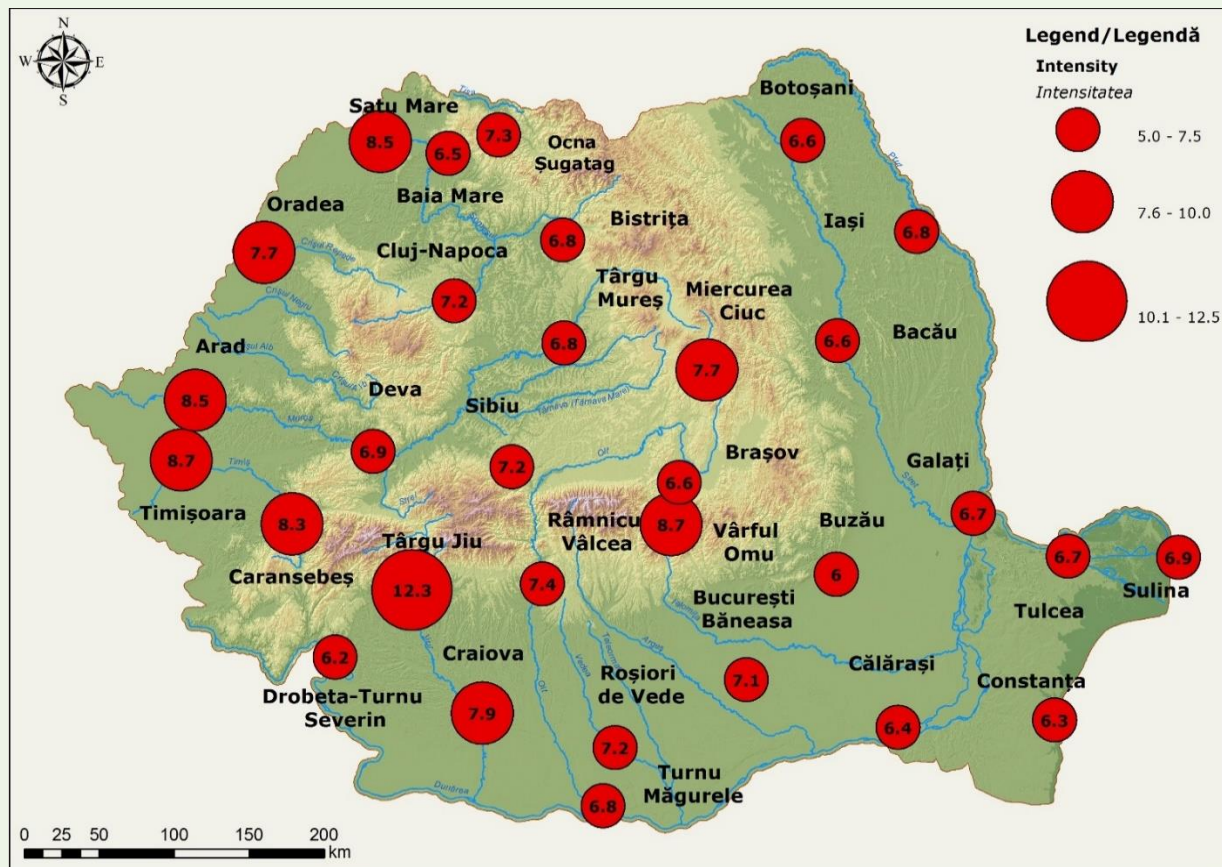


Fig. 2.139. Spatial distribution of the summer maximum intensity of extremely severe cold waves  
Distribuția spațială a intensității maxime a valurilor de frig extrem de sever din anotimpul de vară

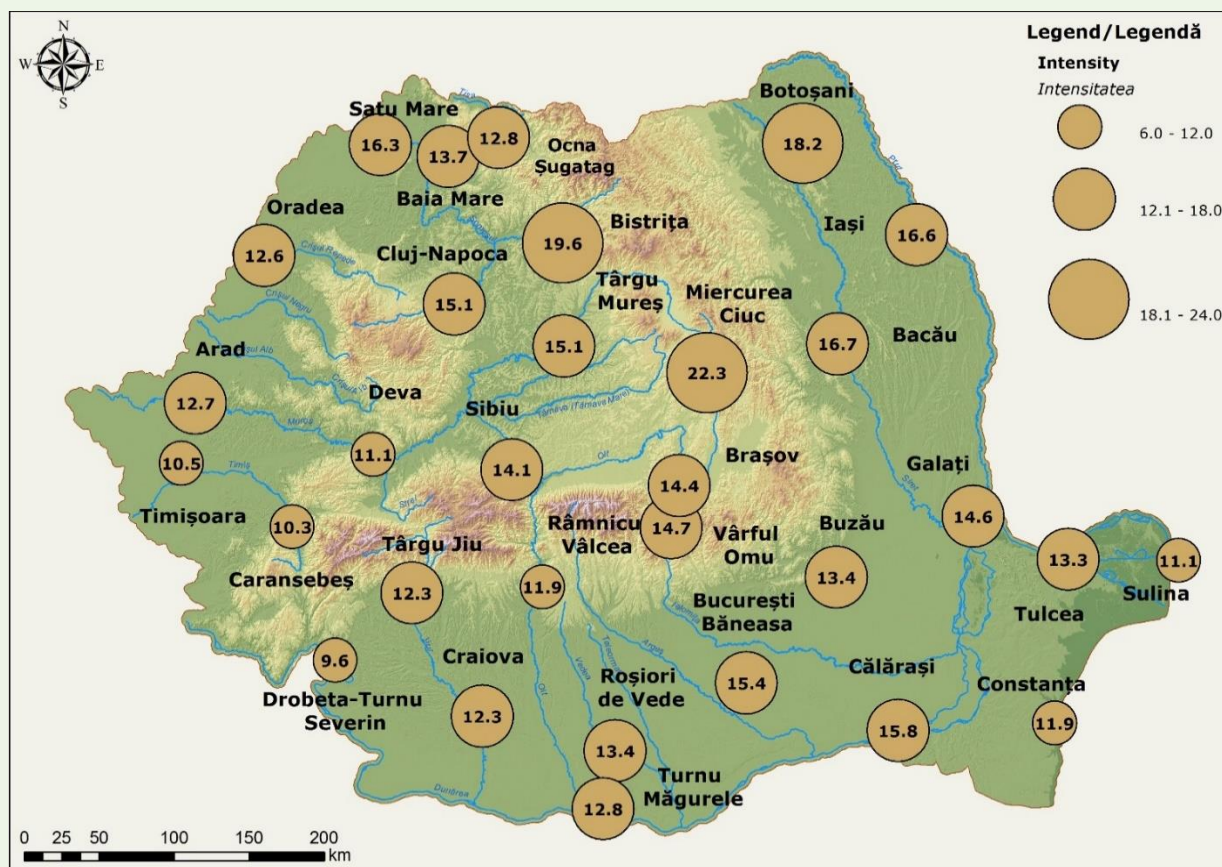


Fig. 2.140. Spatial distribution of the autumn maximum intensity of extremely severe cold spells  
Distribuția spațială a intensității maxime a perioadelor reci extrem de severe din anotimpul de toamnă

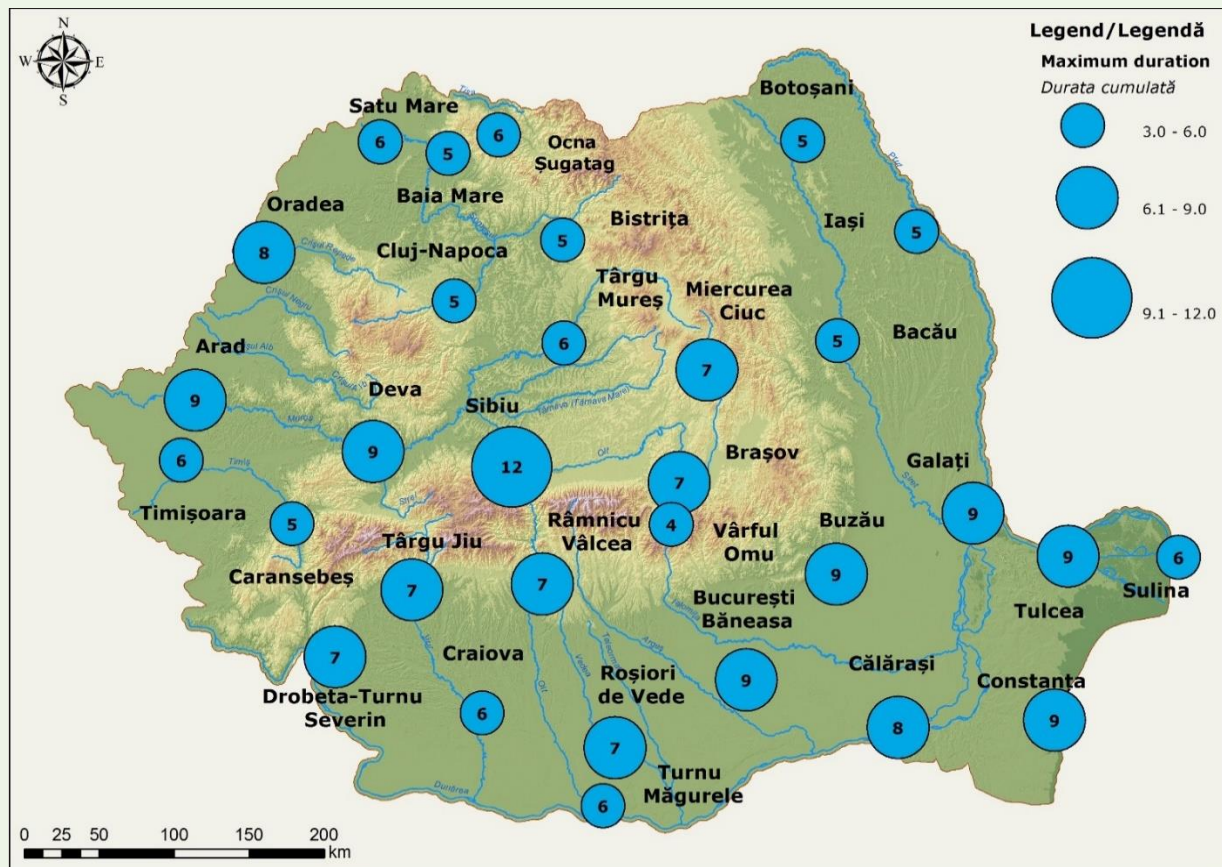


Fig. 2.141. Spatial distribution of the winter maximum duration of extremely severe cold spells  
Distribuția spațială a duratei maxime a perioadelor reci extrem de severe din anotimpul de iarnă

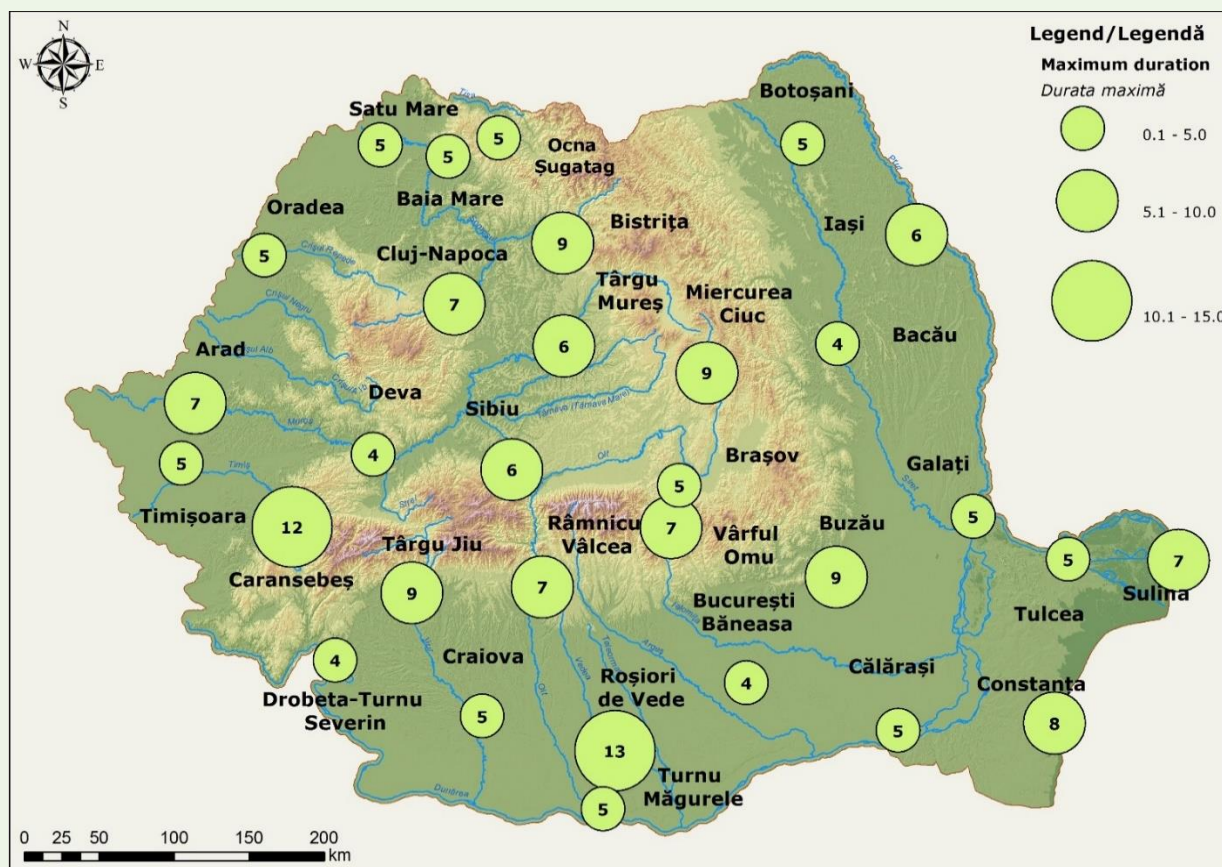


Fig. 2.142. Spatial distribution of the spring maximum duration of extremely severe cold spells  
Distribuția spațială a duratei maxime a perioadelor reci extrem de severe din anotimpul de primăvară

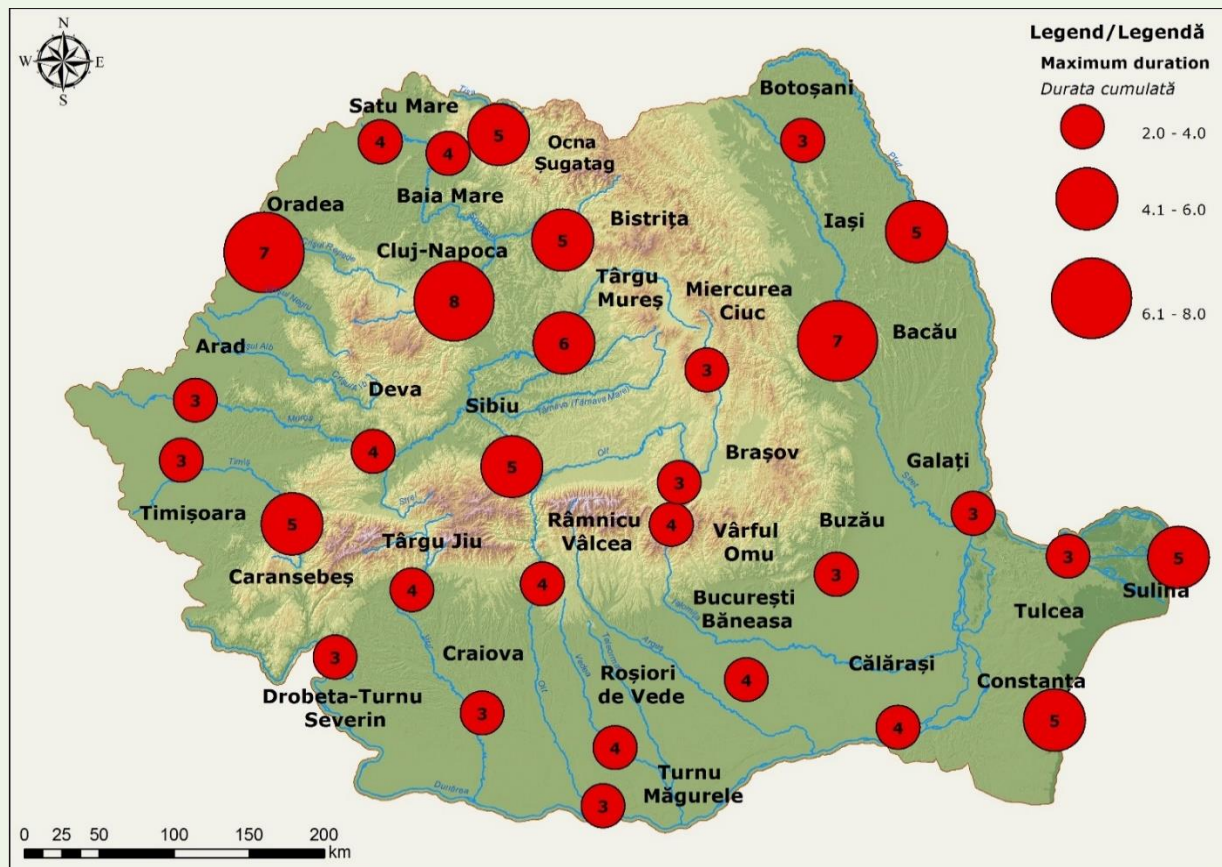


Fig. 2.143. Spatial distribution of the summer maximum duration of extremely severe cold waves  
Distribuția spațială a duratei maxime a valurilor de frig extrem de severe din anotimpul de vară

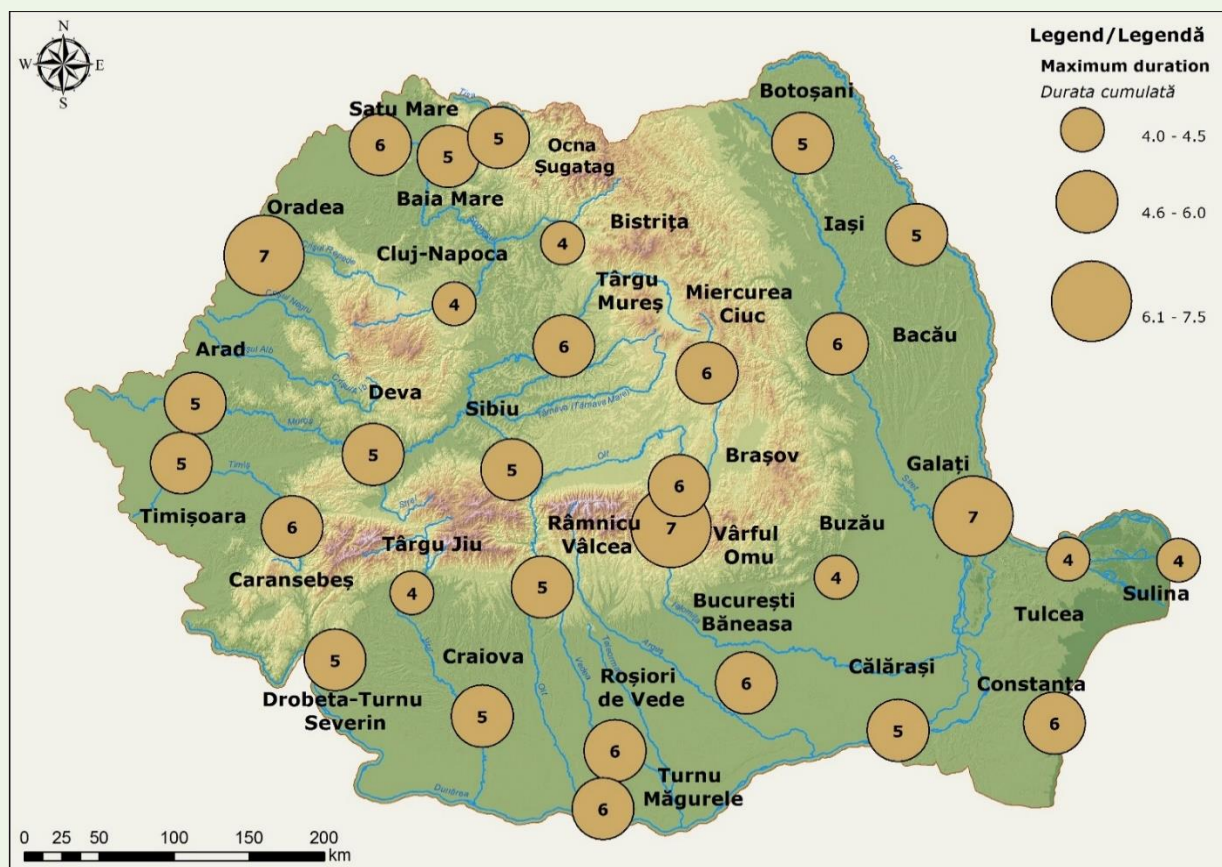


Fig. 2.144. Spatial distribution of the autumn maximum duration of extremely severe cold spells  
Distribuția spațială a duratei maxime a perioadelor reci extrem de severe din anotimpul de toamnă

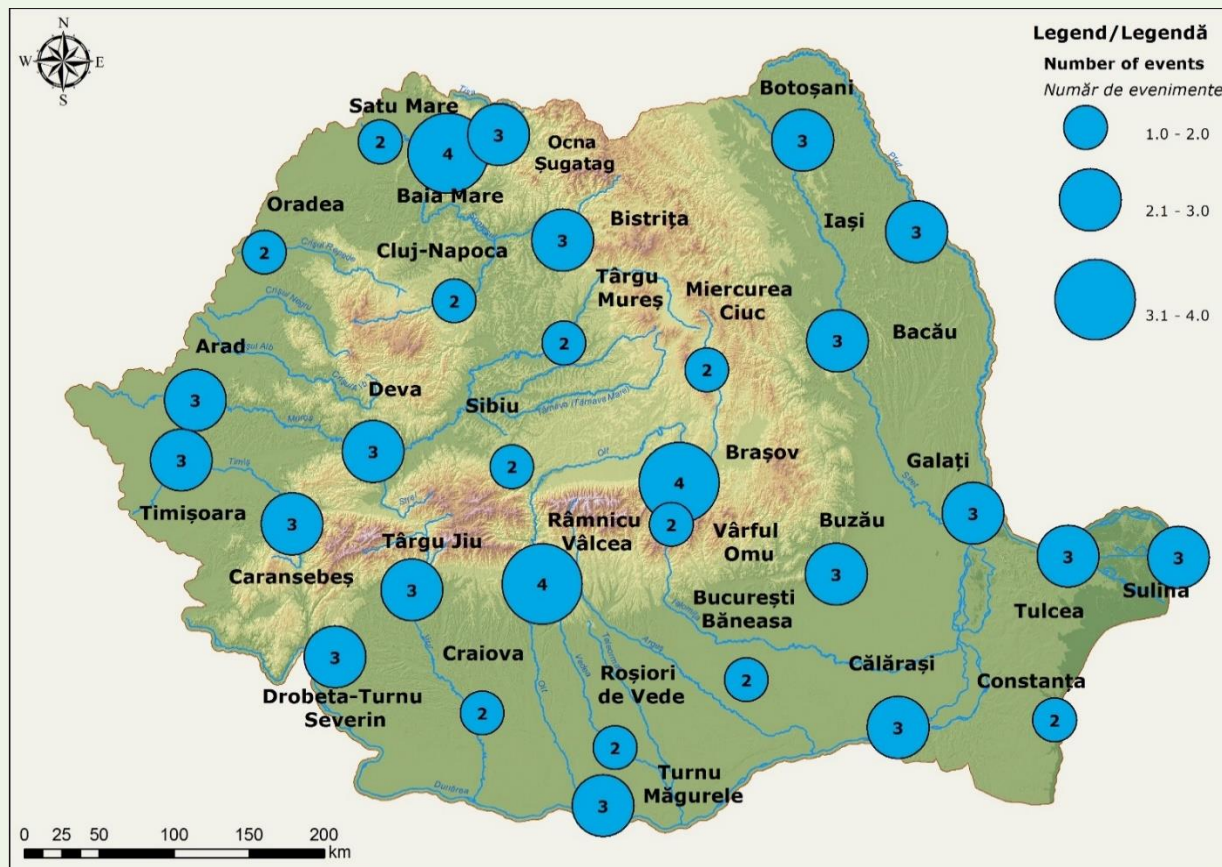


Fig. 2.145. Spatial distribution of the winter maximum number of extremely severe cold spells

Distribuția spațială a numărului maxim al perioadelor reci extrem de severe din anotimpul de iarnă

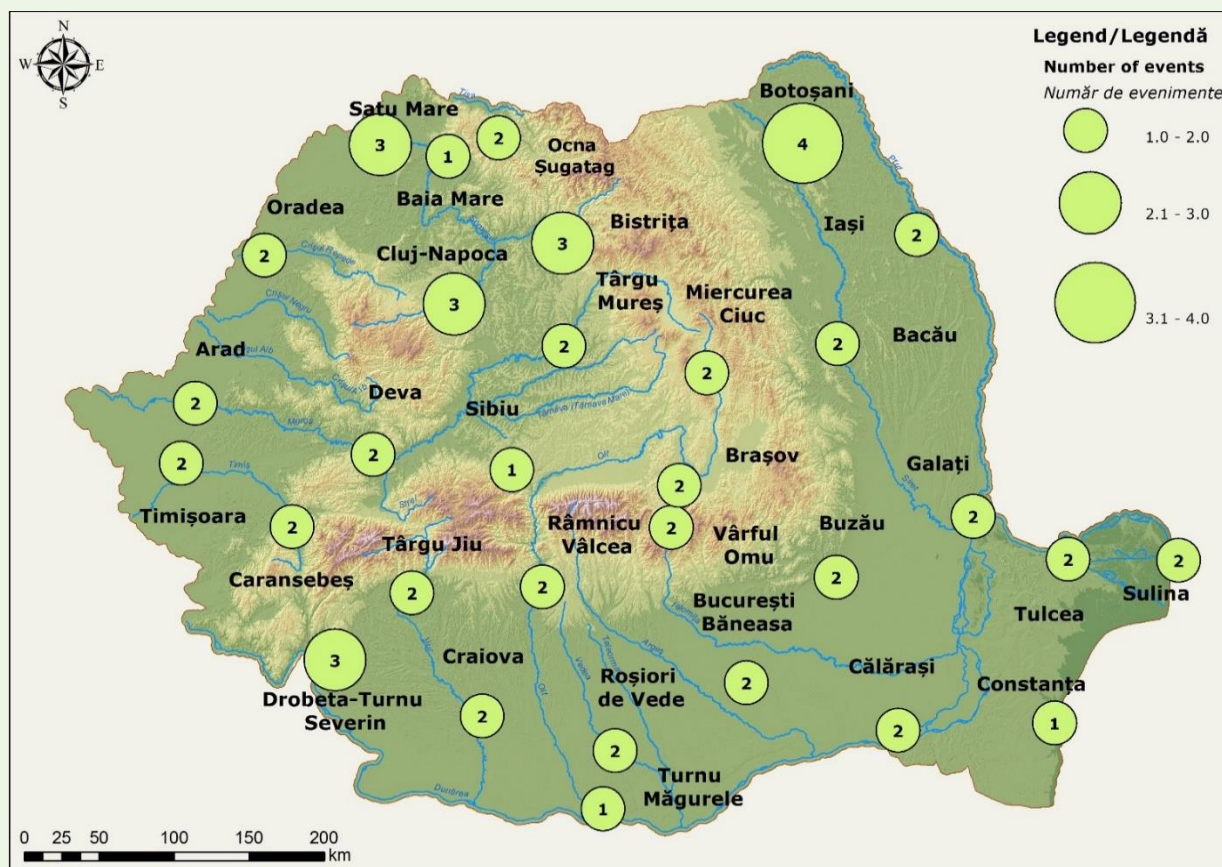


Fig. 2.146. Spatial distribution of the spring maximum number of extremely severe cold spells

Distribuția spațială a numărului maxim al perioadelor reci extrem de severe din anotimpul de primăvară

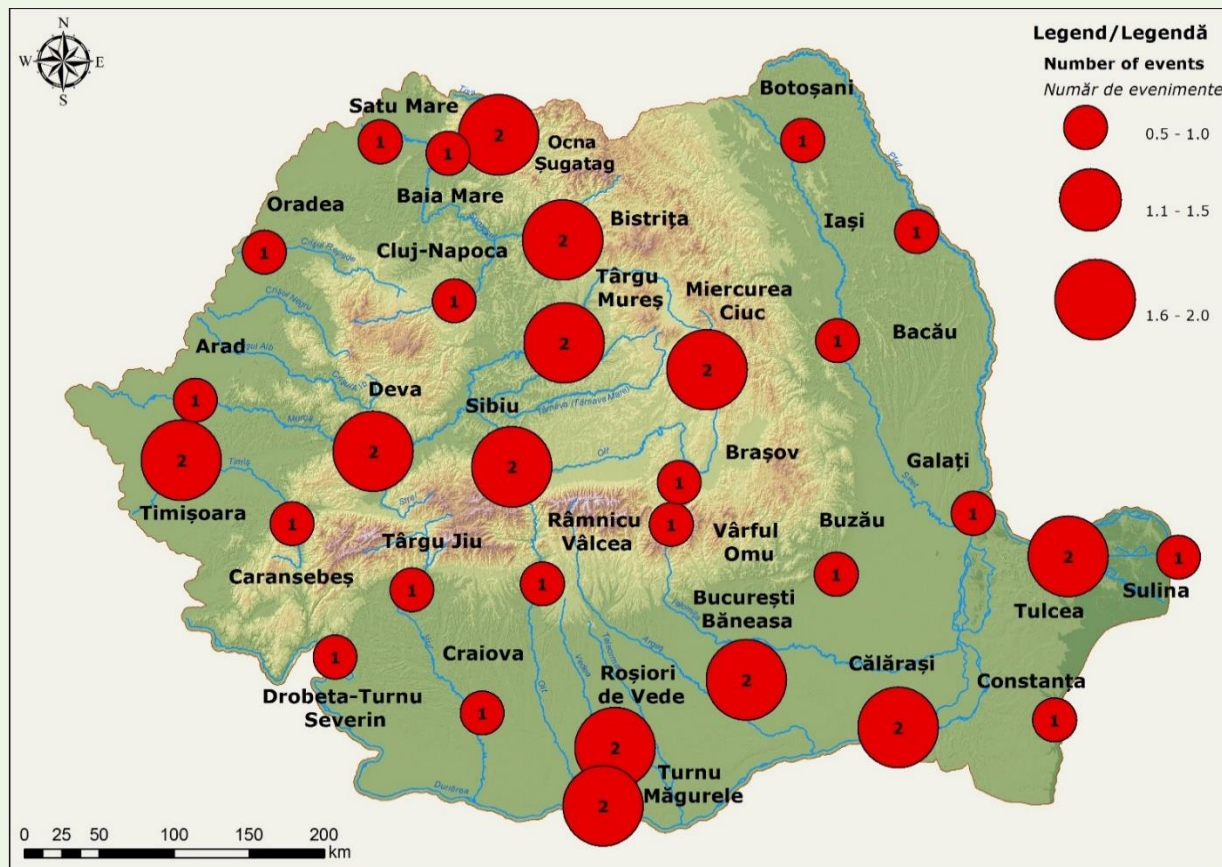


Fig. 2.147. Spatial distribution of the summer maximum number of extremely severe cold waves  
Distribuția spațială a numărului maxim al valurilor de frig extrem de sever din anotimpul de vară

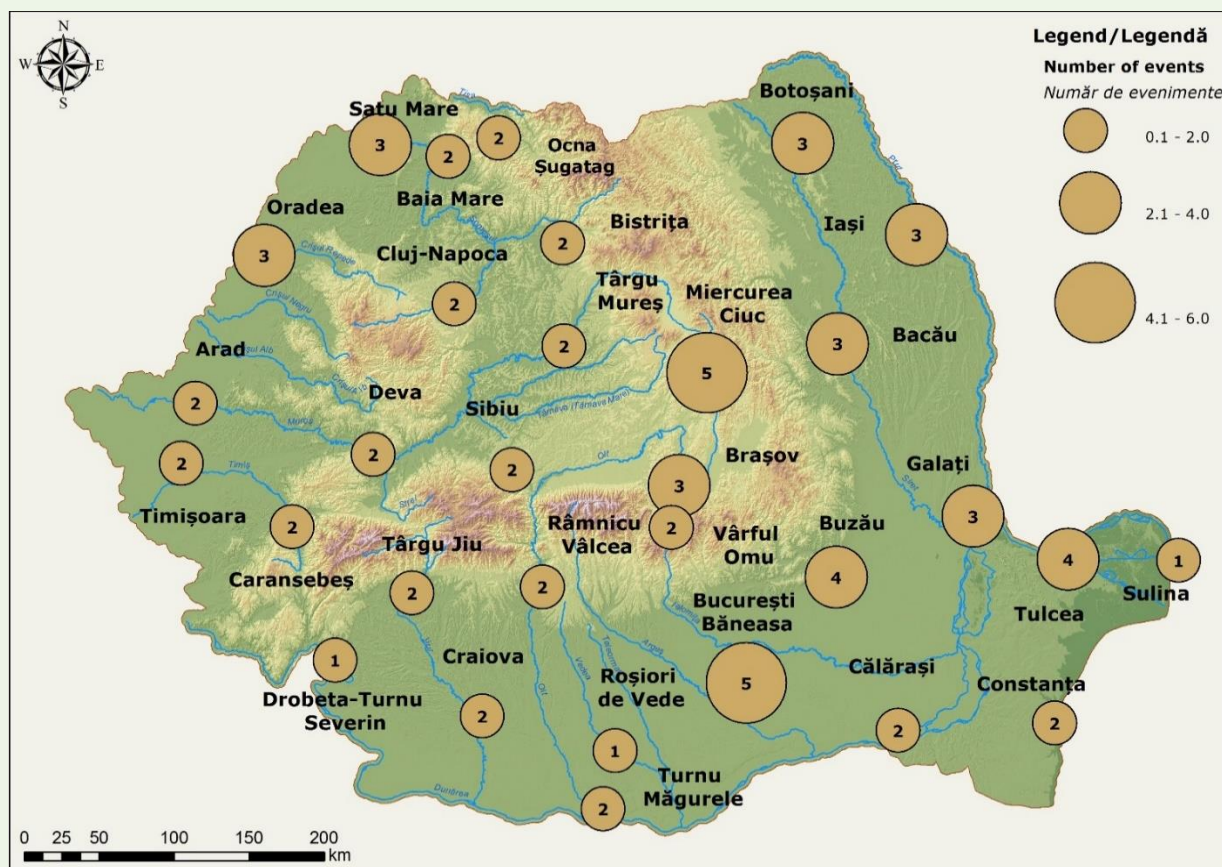


Fig. 2.148. Spatial distribution of the autumn maximum number of extremely severe cold spells  
Distribuția spațială a numărului maxim al perioadelor reci extrem de sever din anotimpul de toamnă

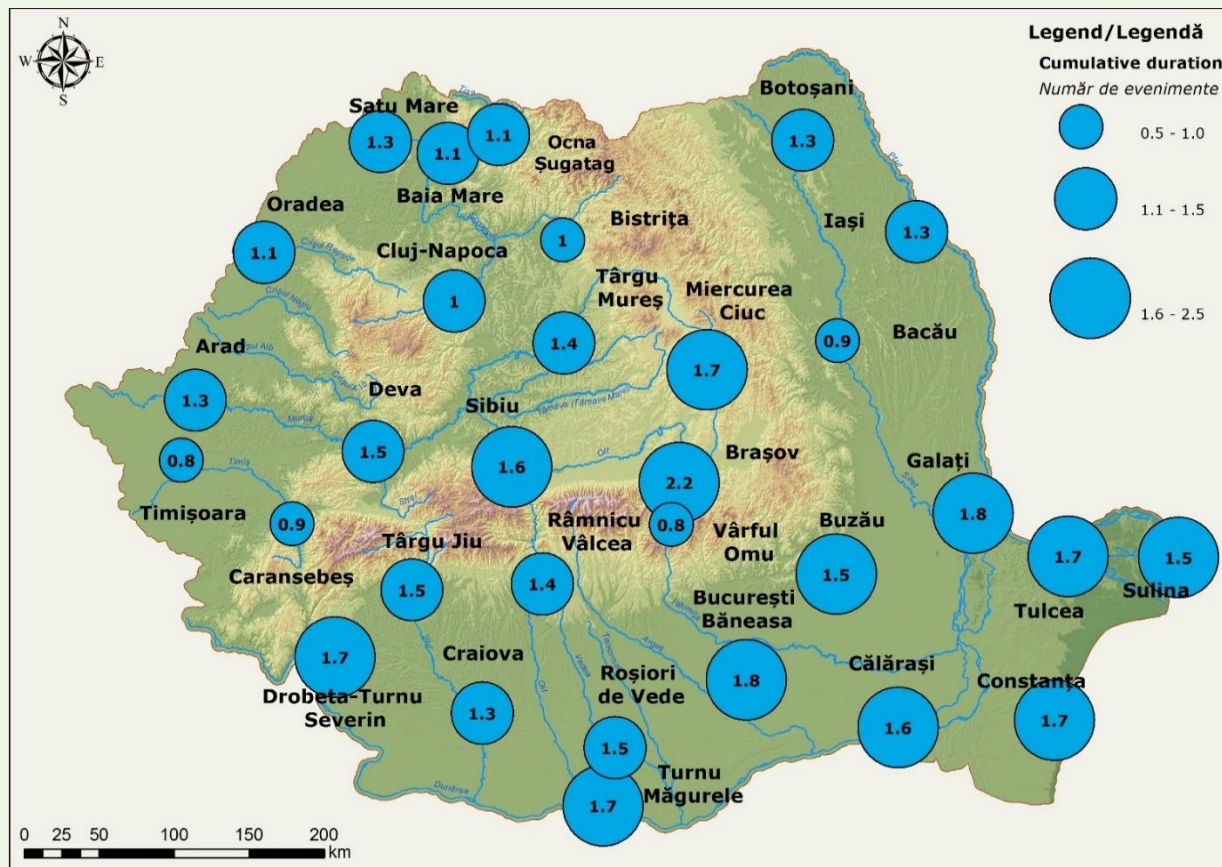


Fig. 2.149. Spatial distribution of the winter mean cumulative duration of extremely severe cold spells  
Distribuția spațială a duratei cumulate medii a perioadelor reci extrem de severe din anotimpul de iarnă

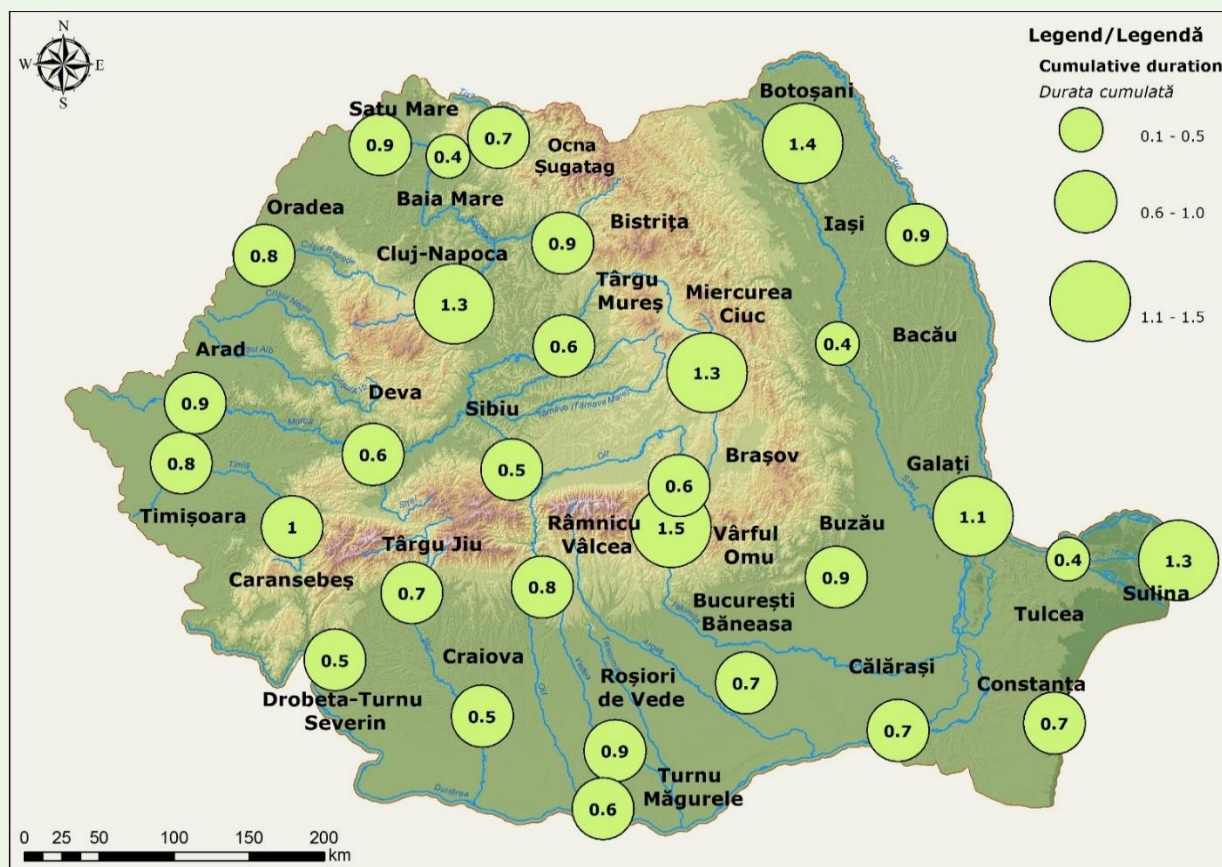


Fig. 2.150. Spatial distribution of the spring mean cumulative duration of extremely severe cold spells  
Distribuția spațială a duratei cumulate medii a perioadelor reci extrem de severe din anotimpul de primăvară

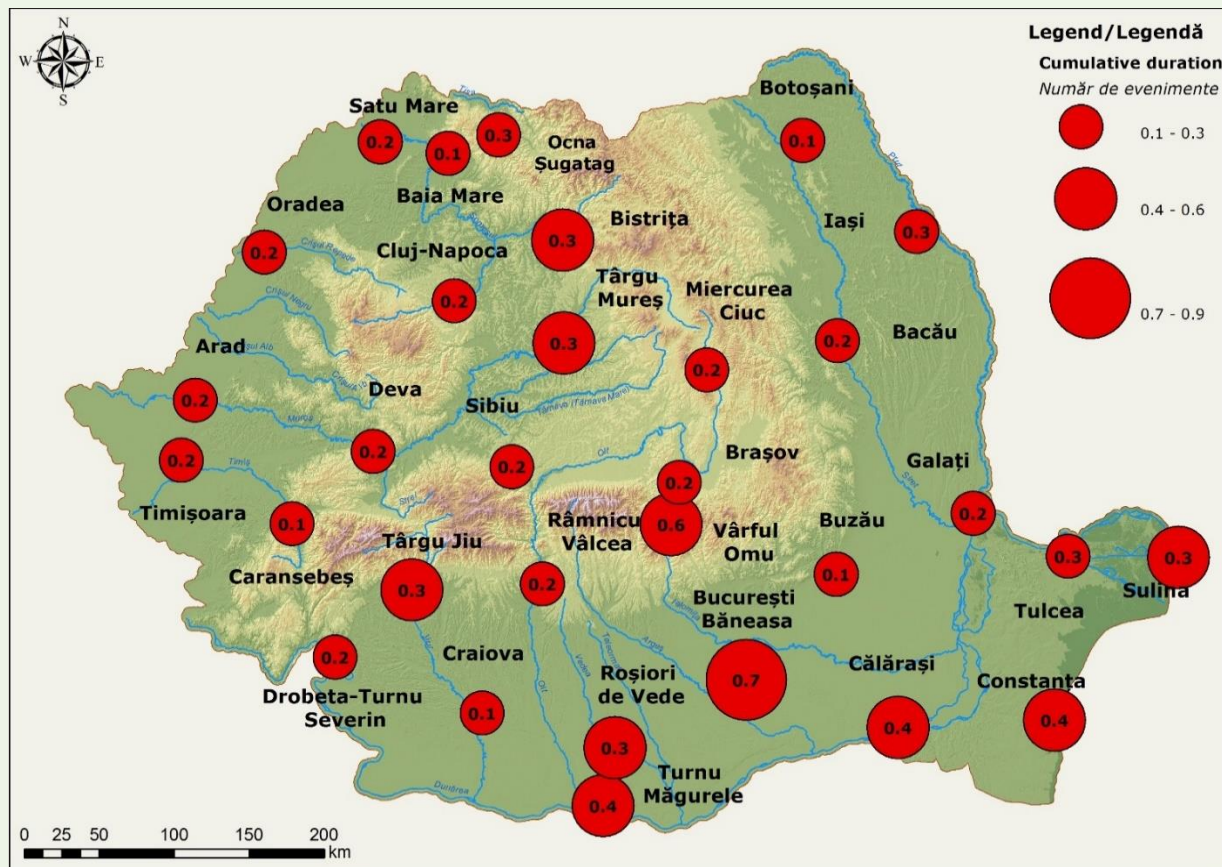


Fig. 2.151. Spatial distribution of the summer mean cumulative duration of extremely severe cold waves  
Distribuția spațială a duratei cumulate medii a valurilor de frig extrem de severe din anotimpul de vară

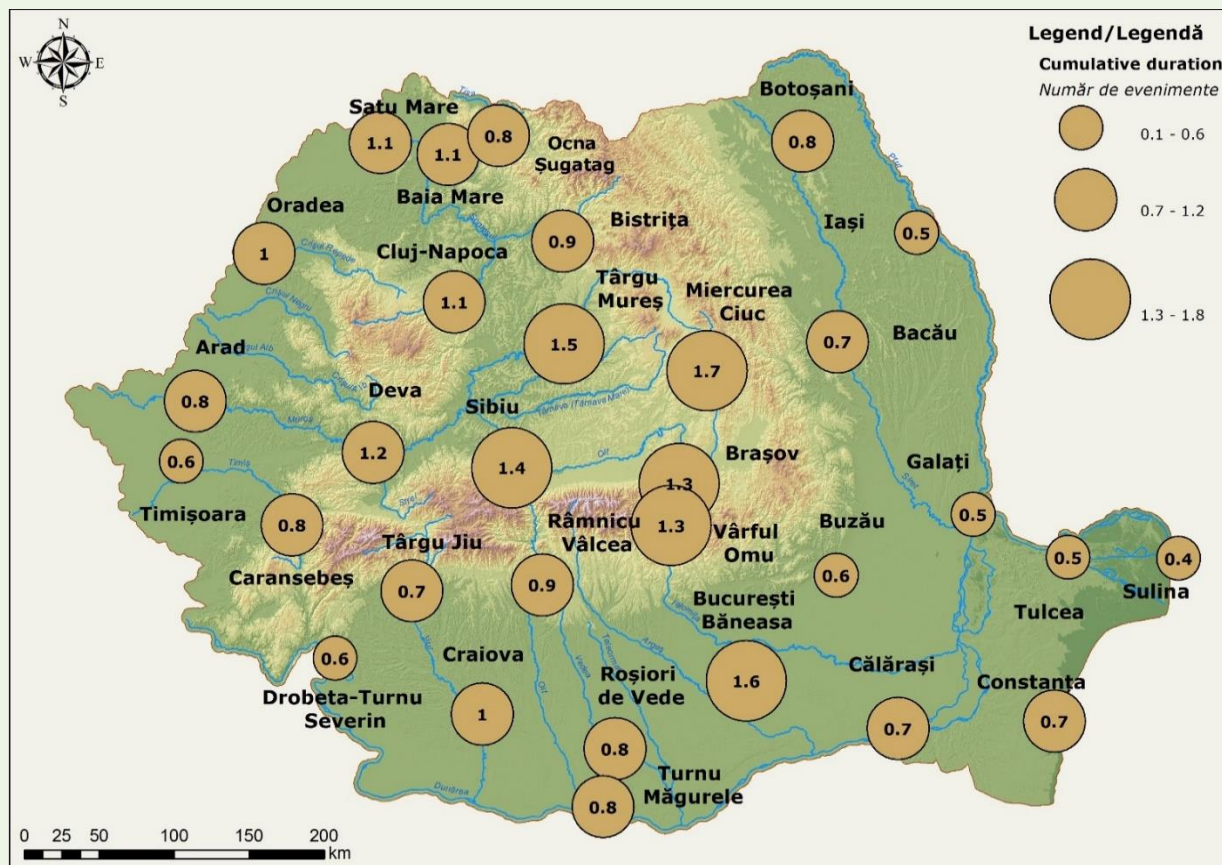


Fig. 2.152. Spatial distribution of the autumn mean cumulative duration of extremely severe cold spells  
Distribuția spațială a duratei cumulate medii a perioadelor reci extrem de severe din anotimpul de toamnă

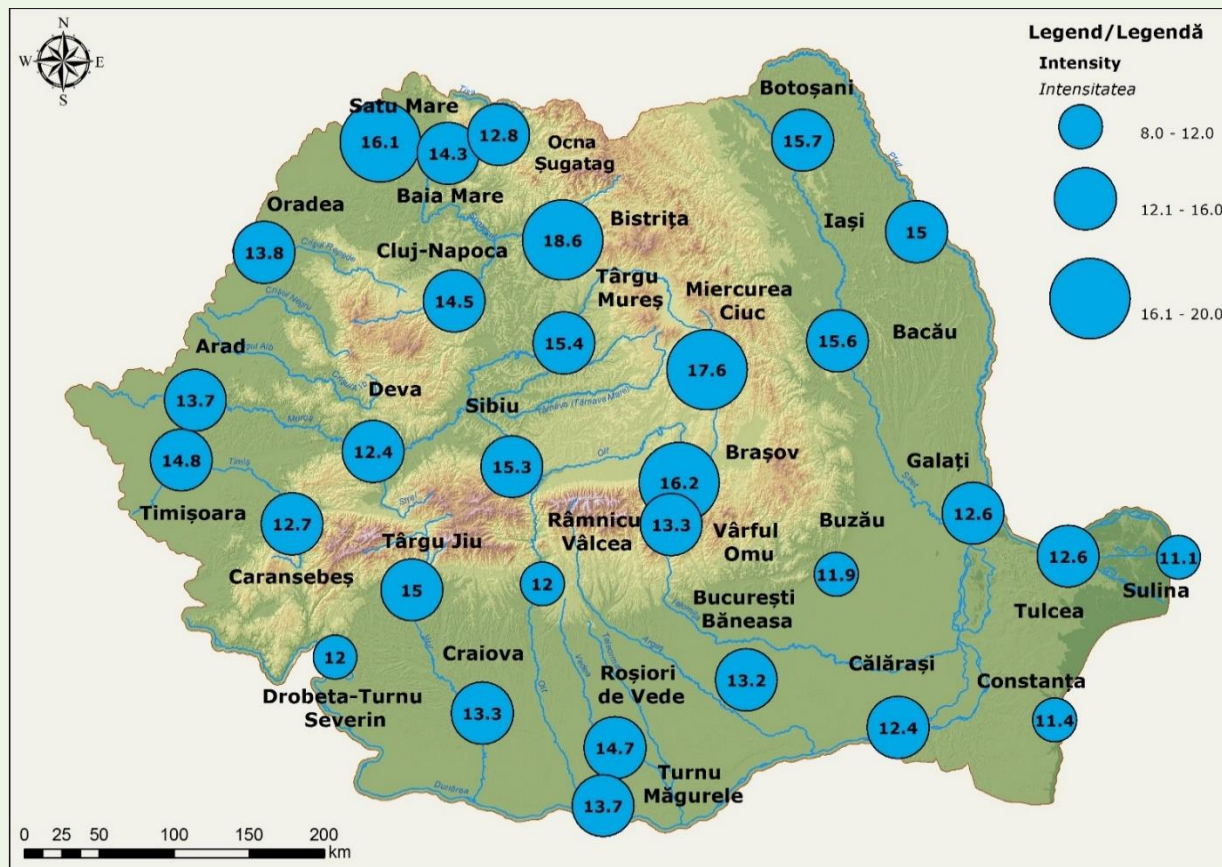


Fig. 2.153. Spatial distribution of the winter mean intensity of extremely severe cold spells

Distribuția spațială a intensității medii a perioadelor reci extrem de severe din anotimpul de iarnă

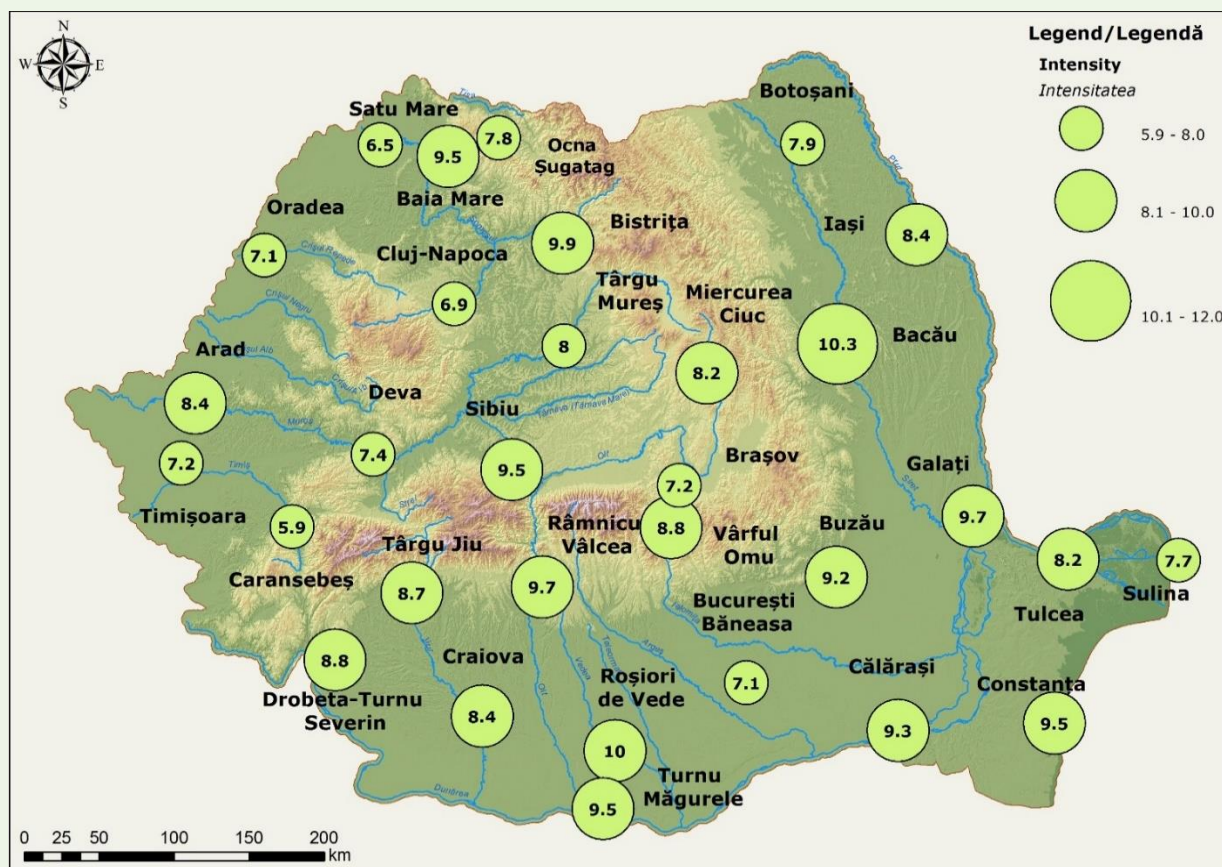


Fig. 2.154. Spatial distribution of the spring mean intensity of extremely severe cold spells

Distribuția spațială a intensității medii a perioadelor reci extrem de severe din anotimpul de primăvară

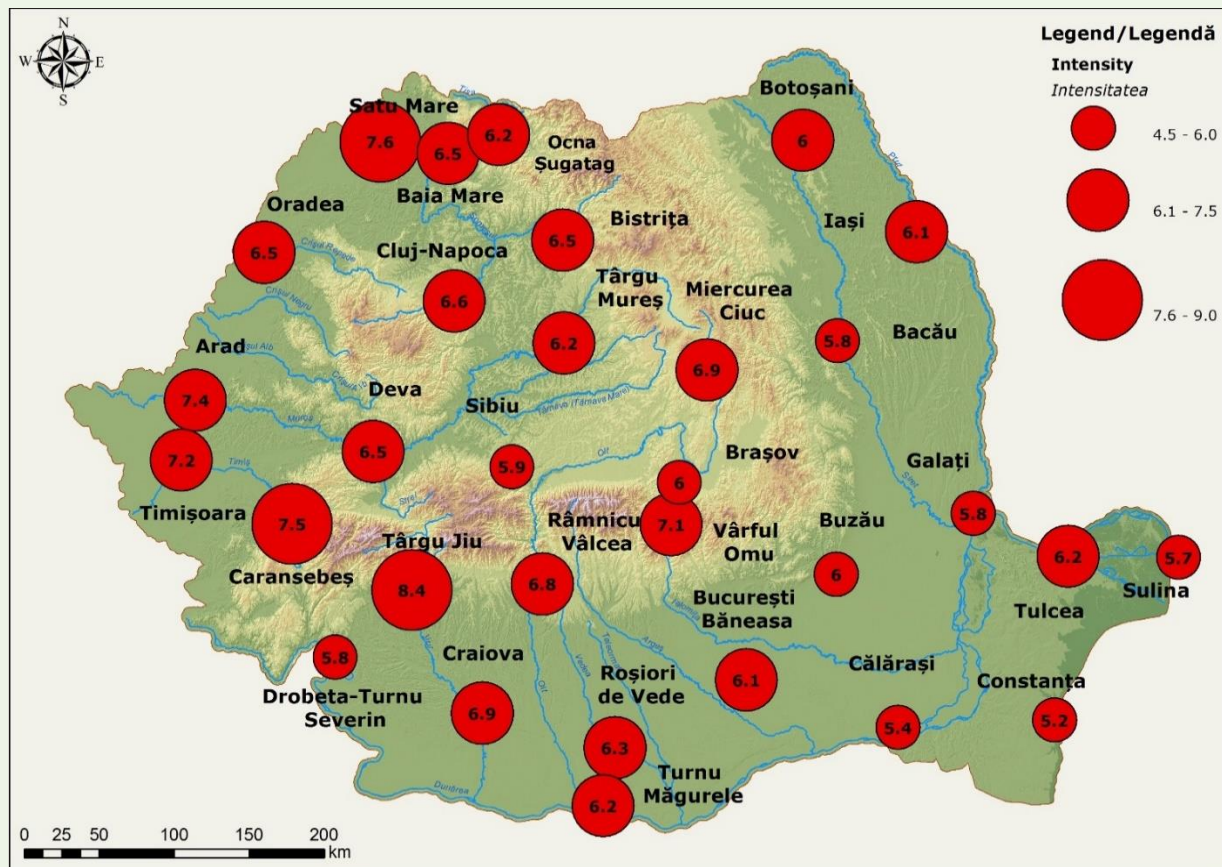


Fig. 2.155. Spatial distribution of the summer mean intensity of extremely severe cold waves  
Distribuția spațială a intensității medii a valurilor de frig extrem de severe din anotimpul de vară

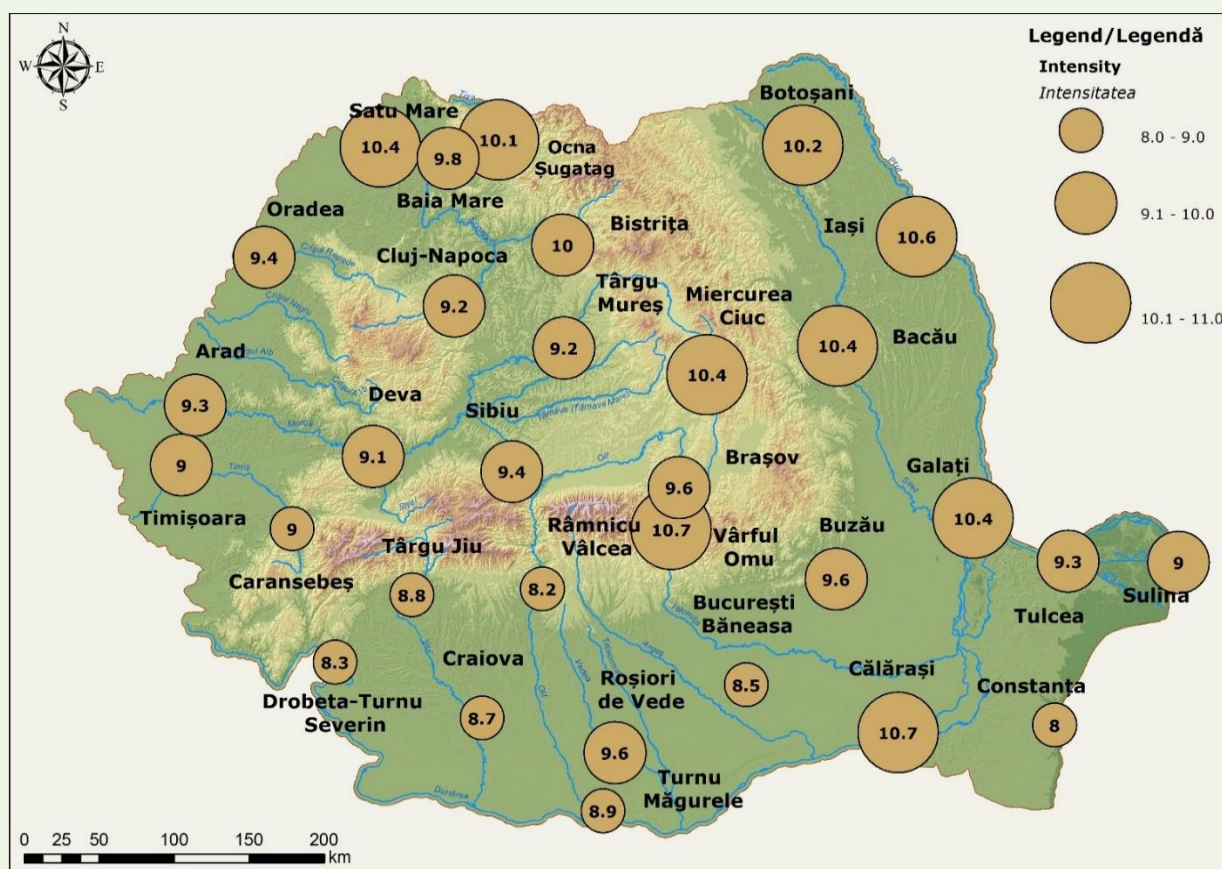


Fig. 2.156. Spatial distribution of the autumn mean intensity of extremely severe cold spells  
Distribuția spațială a intensității medii a perioadelor reci extrem de severe din anotimpul de toamnă

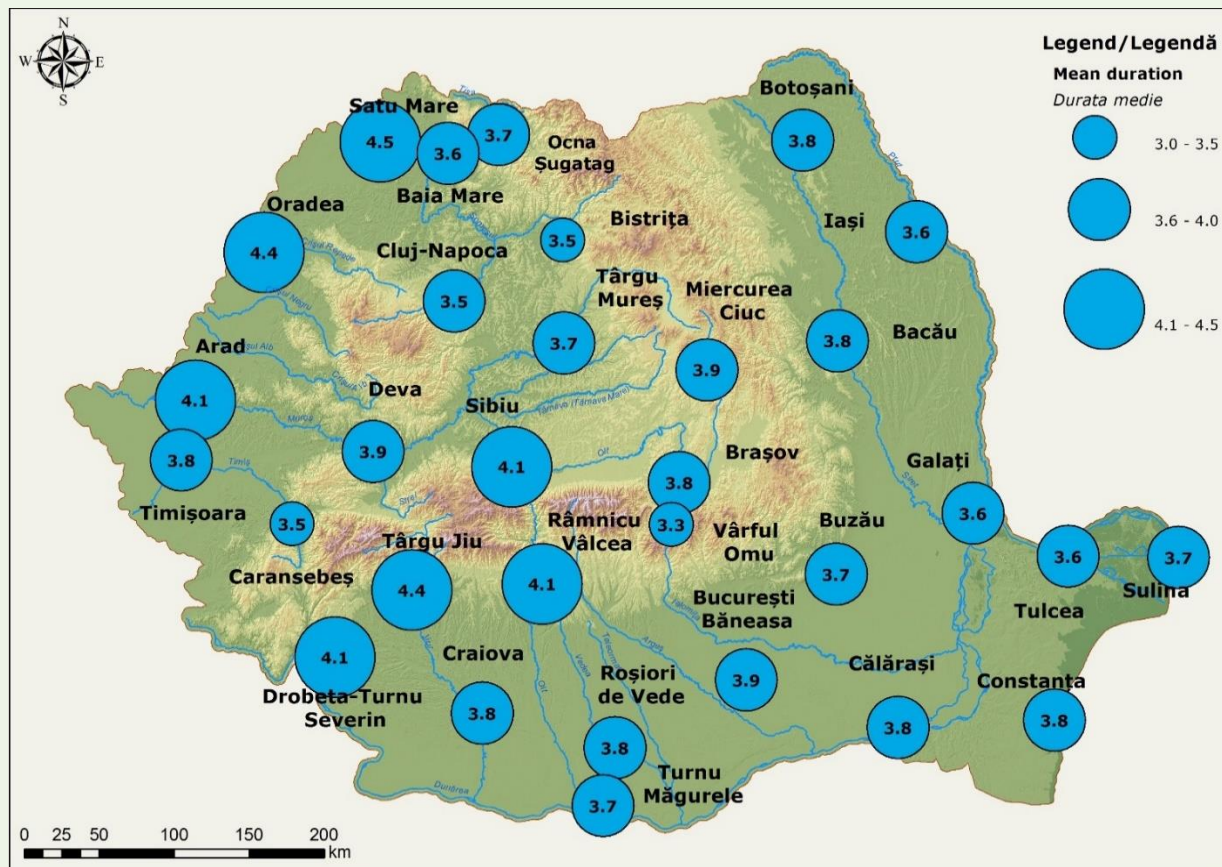


Fig. 2.157. Spatial distribution of the winter mean duration of extremely severe cold spells  
Distribuția spațială a duratei medii a perioadelor reci extrem de severe din anotimpul de iarnă

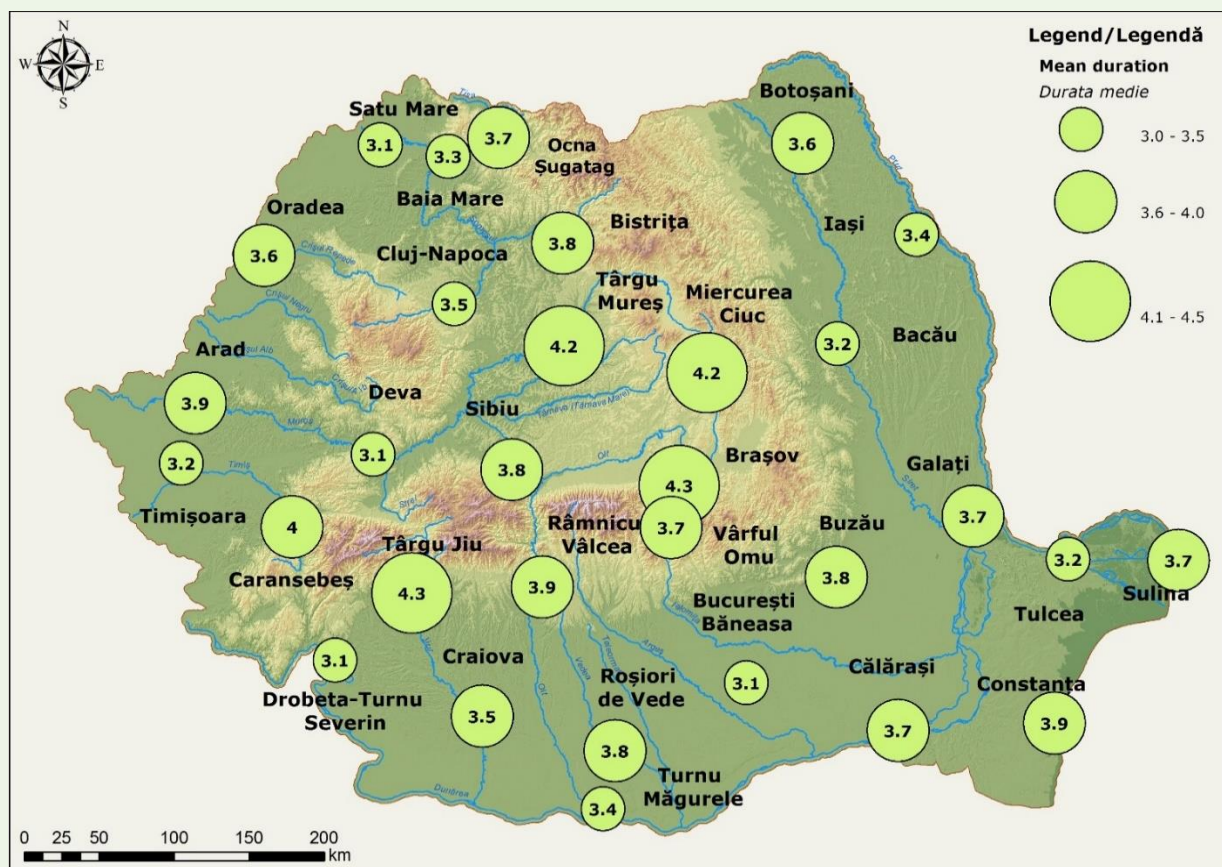


Fig. 2.158. Spatial distribution of the spring mean duration of extremely severe cold spells  
Distribuția spațială a duratei medii a perioadelor reci extrem de severe din anotimpul de primăvară

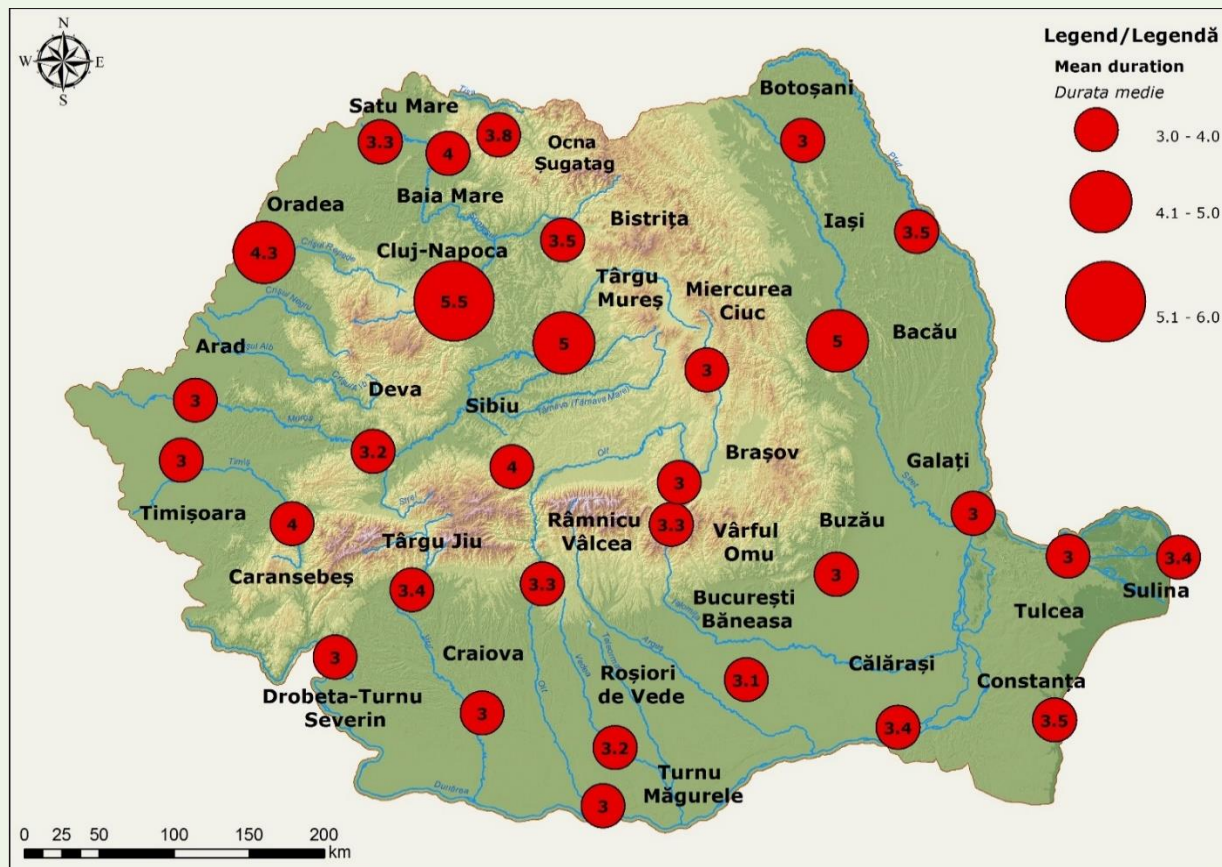


Fig. 2.159. Spatial distribution of the summer mean duration of extremely severe cold waves  
Distribuția spațială a duratei medii a valurilor de frig extrem de severe din anotimpul de vară

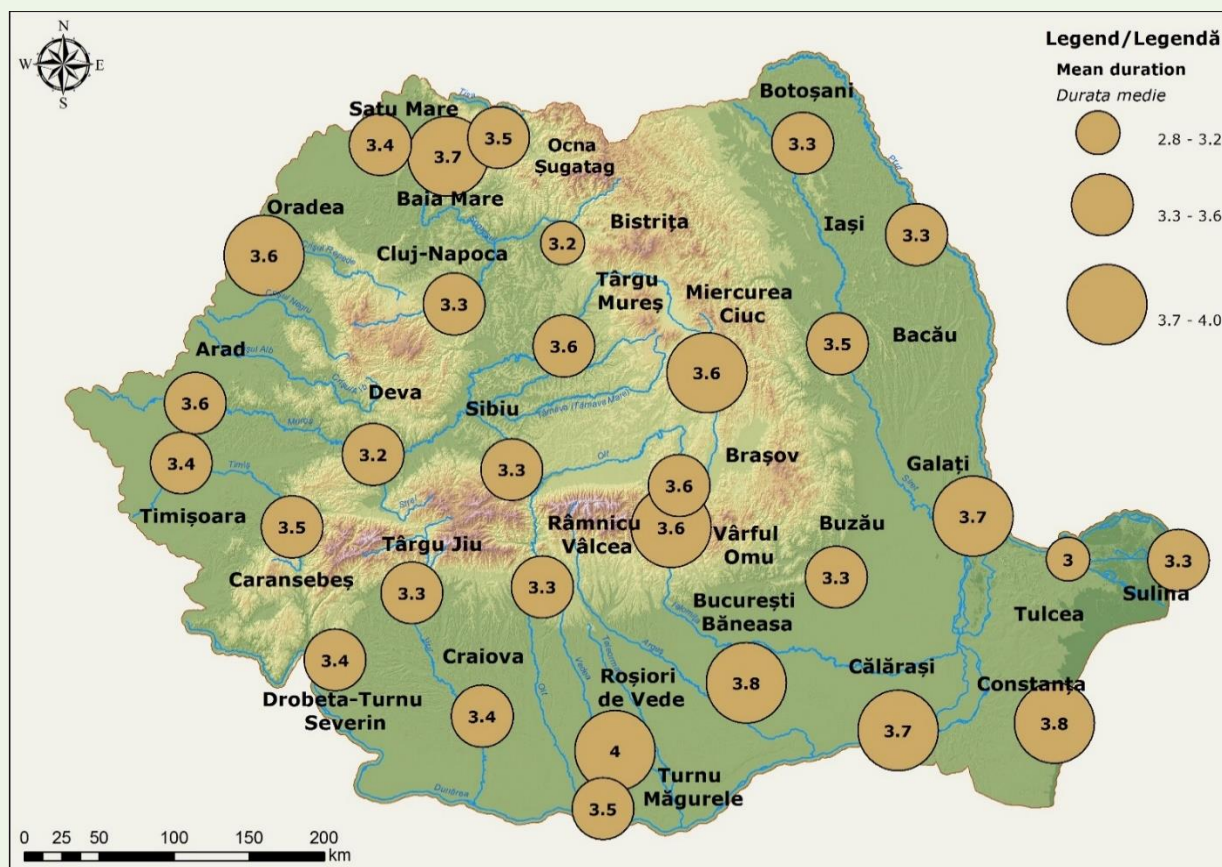


Fig. 2.160. Spatial distribution of the autumn mean duration of extremely severe cold spells  
Distribuția spațială a duratei medii a perioadelor reci extrem de severe din anotimpul de toamnă

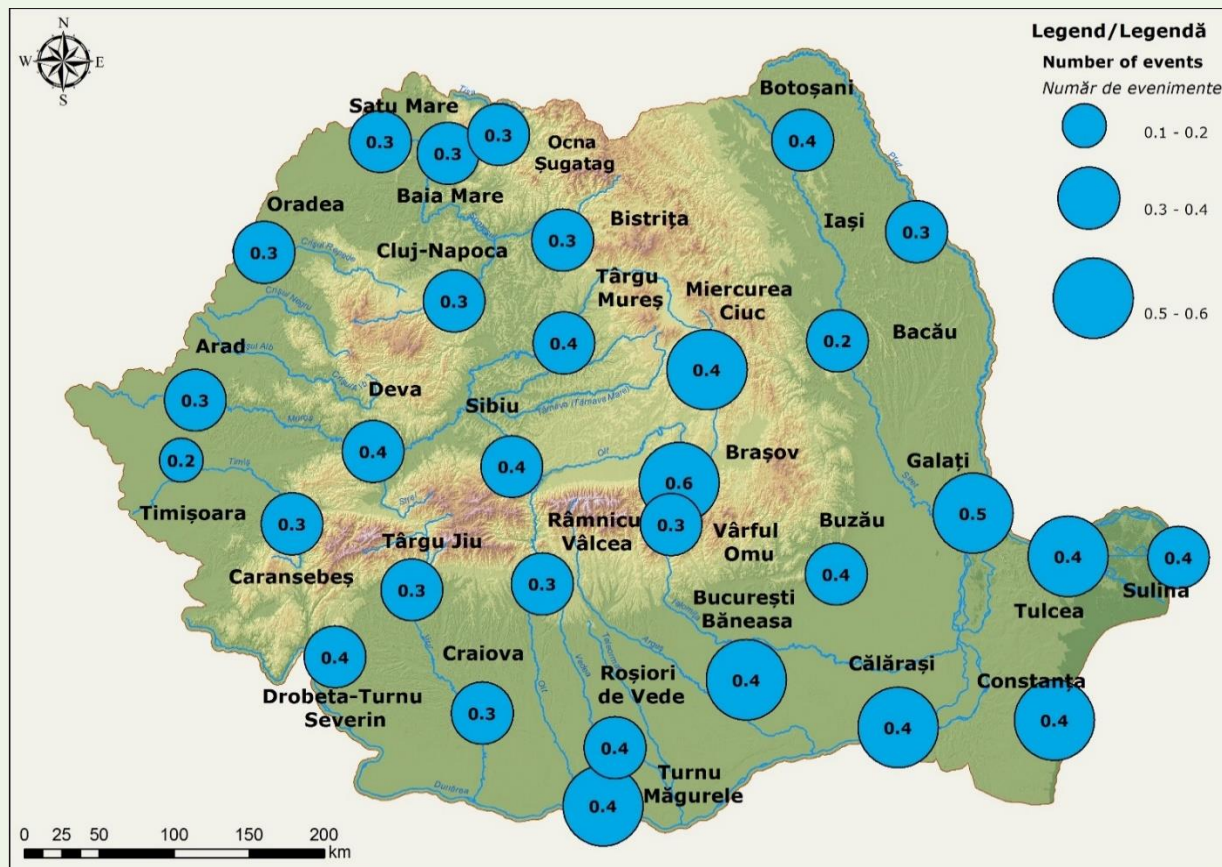


Fig. 2.161. Spatial distribution of the winter mean number of extremely severe cold spells

Distribuția spațială a numărului mediu al perioadelor reci extrem de severe din anotimpul de iarnă

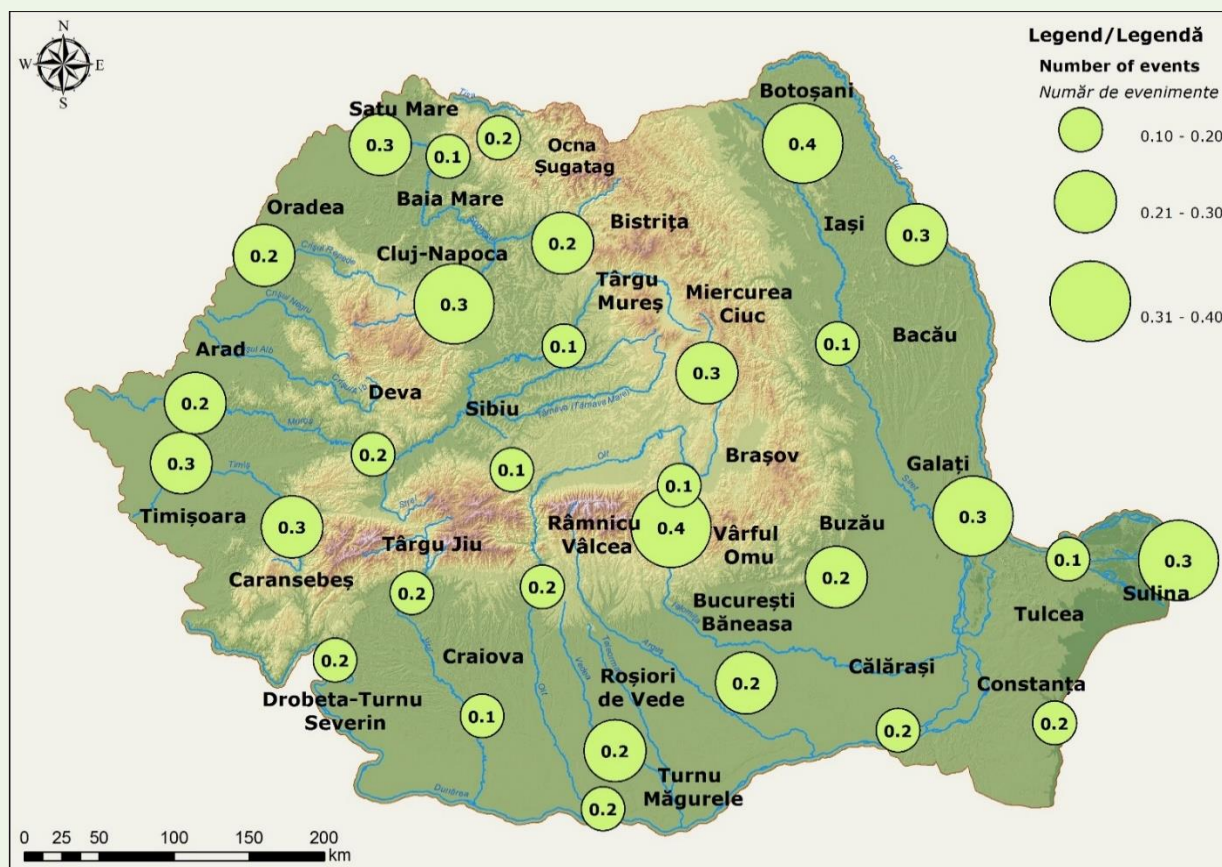


Fig. 2.162. Spatial distribution of the spring mean number of extremely severe cold spells

Distribuția spațială a numărului mediu al perioadelor reci extrem de severe din anotimpul de primăvară

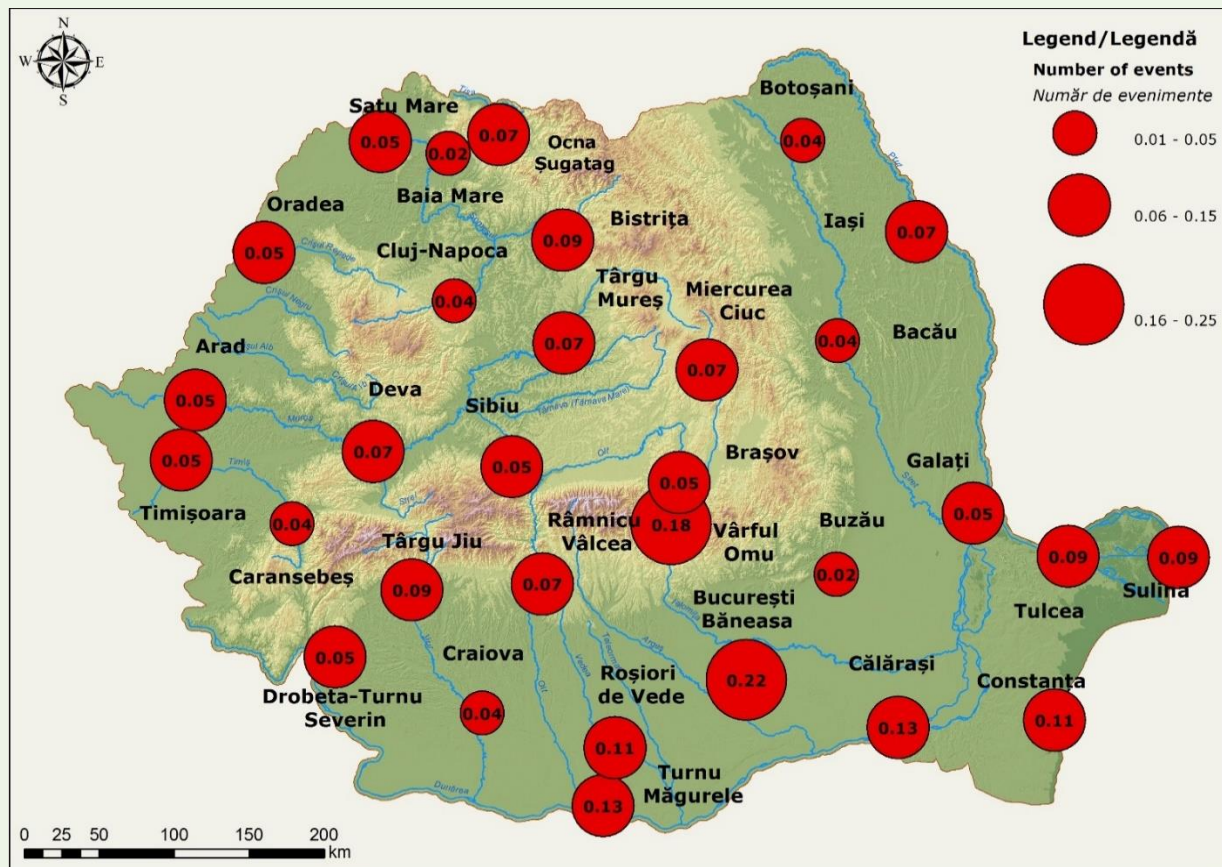


Fig. 2.163. Spatial distribution of the summer mean number of extremely severe cold waves  
Distribuția spațială a numărului mediu al valurilor de frig extrem de severe din anotimpul de vară

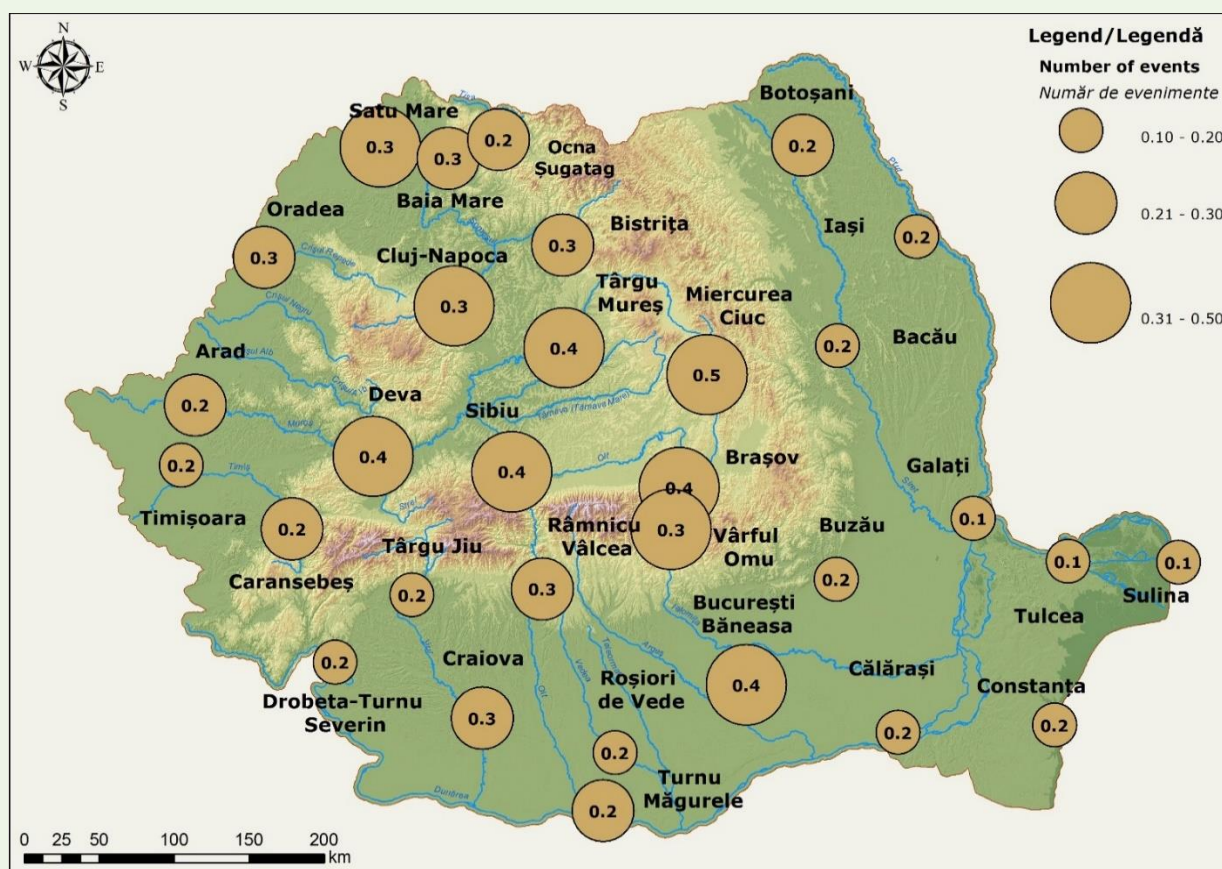


Fig. 2.164. Spatial distribution of the autumn mean number of extremely severe cold spells  
Distribuția spațială a numărului mediu al perioadelor reci extrem de severe din anotimpul de toamnă